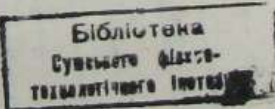


КОНСПЕКТ ЛЕКЦІЙ  
з дисципліни "ТЕОРІЯ МЕХАНІЗМІВ І МАШИН"  
Розділ 1. Основні поняття та означення  
Розділ 2. Структурне дослідження механізмів  
Розділ 3. Кінематичне дослідження плоских  
механізмів  
для студентів машинобудівних спеціальностей  
денної форми навчання

250  
Затверджено  
на засіданні кафедри як конспект  
лекцій з дисципліни "Теорія ме-  
ханізмів і машин" для машинобудівних  
спеціальностей

Протокол № 4 від 14.12.93р.



Машинобудування - провідна галузь сучасної техніки. Створення машин і механізмів ґрунтуються на комплексному застосуванні сучасних досягнень математики, механіки, фізики, електроніки, кібернетики і, в першу чергу, теорії механізмів і машин.

Теорія механізмів - наука, яка призначена для вивчення будови, кінематики і динаміки механізмів у зв'язку з їх аналізом і синтезом.

З цього випливає, що проблеми теорії механізмів і машин можна поділити на дві групи.

Перша група проблем присвячена дослідженням структурних, кінематичних і динамічних властивостей існуючих механізмів, тобто аналізу механізмів.

Друга група проблем присвячена проектуванню механізмів із заданими наперед структурними, кінематичними і динамічними властивостями, тобто синтезу механізмів.

Механізмом називається система твердих тіл, рухомо з'єднаних між собою, яка призначена для перетворення руху одного чи кількох тіл у потріяні рухи інших.

Ланкою називається одне чи кілька коротко з'єднаних між собою твердих тіл, які утворюють механізм. Ланки поділяють на рухомі і нерухомі. Нерухома ланка, стояк, утворюється з нерухомих деталей, з'єднаних в одну нерухому систему тіл /деталей/. Рухома ланка - це рухоме тіло або група тіл, яка утворює одну жорстку рухому систему деталей.

Таким чином, в будь-якому механізмі ми маємо одну нерухому ланку і сиду чи декілька рухомих ланок. Прикладом рухомої ланки, яка складається з декількох коротко з'єднаних між собою деталей, є шатун двигуна. Шатун складається з таких деталей: тіла матуна, кришок, шаруватих підшипників, болтів, які стягують ці кришки.

У механізмі чотиритактного двигуна внутрішнього згорання корпус двигуна, цилінди, підшипники колінчастого вала утворюють у сукупності одну нерухому ланку, або стояк.

Кінематичною парою називається з'єднання двох ланок, що дотикається і можуть одна відносно іншої рухатись. Точки, лінії, поверхні ланки, по яких вони може стикатись з другою ланкою, утворюючи кінематичну пару, називають елементами ланки.

У будь-якому механізмі є вхідна ланка, якій надається від двигуна рух, що перетворюється механізмом в потрібні рухи інших його ланок, і вихідна ланка, яка з'єднана з робочим органом машини і здійснює потрібний рух, для виконання якого їй призначено механізм.

Таким чином, в механізмі є одна вхідна ланка і одна вихідна.

Проте у деяких механізмах, наприклад, у автомобільному диференціалі, є одна вхідна ланка, що сприймає рух від двигуна, і дві вихідні ланки, які з'єднані із задніми колесами.

У механізмі двигуна внутрішнього згорання зворотно-поступальний рух поршня у циліндрі перетворюється в безперервний обертальний рух колінчастого вала.

Система ланок, з'єднаних між собою кінематичними парами, називається кінематичним ланцюгом. Кінематичні ланцюги поділяються на плоскі та просторові, незамкнуті та замкнуті.

Машини - це пристрій, що виконує механічні рухи для перетворення енергії, матеріалів та інформації, щоб полегшити працю людини, підвищити її продуктивність або повністю замінити людину у виконанні нею трудових функцій.

Машини, що використовуються в наш час, за характером виконуваних ними функцій можна поділити на такі класи:

- 1/ енергетичні машини;
- 2/ робочі машини;
- 3/ інформаційні машини;
- 4/ транспортні машини.

Енергетичною машиною називається машина, яка призначена для перетворення будь-якого виду енергії у механічну роботу.

Робоча машина призначена для виконання різних технологічних процесів - зміни форми, розмірів, властивостей і положення матеріалу. Робочі машини приводяться у рух двигунами.

Інформаційні машини призначені для придбання і перетворення інформації. Це лічильні та лічильно-обчислювальні машини.

Кібернетичною машиною називається машина, яка виконує потрібні механічні рухи за допомогою відповідних систем керування - роботів, мантіпуляторів та інших машин.

Транспортні машини призначені для переміщення маси. Це автомобілі, тягловози, транспортні ліфти.

Двигун є робочу машину, що з ним з'єднана, називається машинним агрегатом. Іноді між двигуном і робочою машиною встановлюють передавальні механізми.

Широке застосування в техніці мають машини-автомати. Це такі машини, де всі операції виконуються без участі людини.

## Розділ 2. СТРУКТУРНЕ ДОСЛІДЖЕННЯ МЕХАНІЗМІВ

При структурному дослідженні механізмів вирішуються такі завдання:

- а/ визначення кількості ланок механізму і їх назв;
- б/ визначення класів і числа кінематичних пар, які входять у механізм;

- з/ви значення числа ступенів вільності механізму;
- г/ поділ механізму на структурні групи, визначення класу, порядку і виду груп Ассура;
- д/ви значення класу механізму;
- е/ утворення формули будови механізму.

### 2. I. Кінематичні пари і їх класифікація

У загальному випадку будь-яке абсолютно тверде тіло, що рухається в просторі, має шість ступенів вільності, тобто може робити шість незалежних між собою можливих переміщень, а саме: три обертальні рухи навколо трьох взаємно перпендикулярних осей  $X$ ,  $Y$ ,  $Z$  і три поступальні рухи вzdовж цих осей.

При входженні двох ланок у кінематичну пару на відносний рух кожної ланки накладаються обмеження, які залежать від способу з'єднання ланок пари. Ці обмеження називають умовами зв'язку. Очевидно, що число умов зв'язку може бути тільки цілим числом і не може бути більше п'яти, бо коли умов зв'язку буде шість, то кінематична пара стане жорстким з'єднанням двох ланок. Так само не може бути кінематичної пари, коли число умов зв'язку дорівнює нулю, бо при цьому ми матимемо два тіла, що не стикаються і переміщуються у просторі незалежно одне від одного. Отже, число  $S$  умов зв'язку, накладених на відносний рух кожної ланки кінематичної пари, може змінюватись в межах від 1 до 5, тобто  $1 \leq S \leq 5$ .

Таким чином, число ступенів вільності  $H$  данки кінематичної пари у відносному русі може бути виражене залежністю

$$H = 6 - S.$$

/1/

З рівності /1/ випливає, що число  $H$  рухомостей кінематичної пари може змінюватись також від 1 до 5.

Усі кінематичні пари поділяються на класи в залежності від числа умов зв'язку, які накладаються на відносний рух їх ланок. Отже, якщо число  $S$  умов зв'язку змінюється в межах від 1 до 5, то число класів пар дорівнює 5 – відповідно до чого маємо кінематичні пари I, II, III, IV та V класів. Клас кінематичної пари можна визначити з рівності /1/

$$S = 6 - H.$$

/2/

З рівності /2/ випливає, що число умов зв'язку, які накладаються на кінематичну пару, буде завжди дорівнювати різниці між числом 6 і тим числом ступенів вільності, яке має кожна ланка кінематичної пари у відносному русі.

Розглянемо найпоширеніші кінематичні пари з їх умовними позначеннями.

На рис. I, а, б показано кінематичну пару - кулю I, що перекочується з ковзанням по площині 2. Рух кулі I відносно площини 2 або навпаки, рух площини 2 відносно кулі I можна розкласти на три обертання навколо осей  $\lambda$ ,  $\psi$ ,  $\Xi$  і на два ковзання вздовж осей  $x'$  і  $y'$ . Переміщення кулі I вздовж осі  $\Xi$  неможливо, тому що кінематична пара буде зруйнована.

Таким чином, число ступенів вільності  $N$  дорівнює п'яти, а число умов зв'язку відповідно формули /2/

$$\Sigma = 6 - N = 6 - 5 = 1.$$

Отже, цю пару слід віднести до кінематичних пар І класу /п'ятирухома пары/.

На рис. 2, а, б показано кінематичну пару циліндр - площа, яка має чотири ступені вільності та дві умови зв'язку. Таким чином, клас цієї кінематичної пари буде другий /четирирухома пары/.

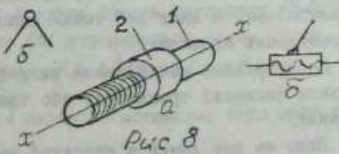
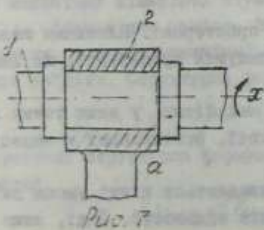
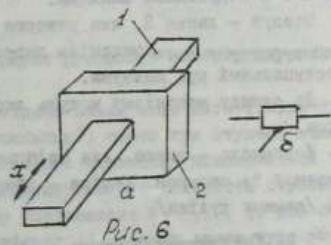
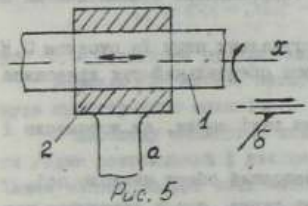
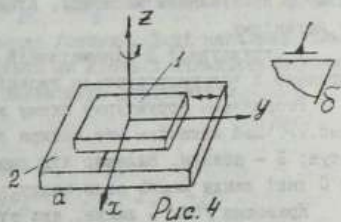
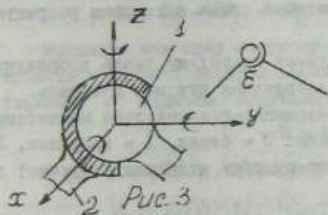
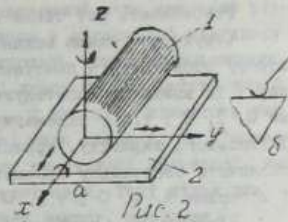
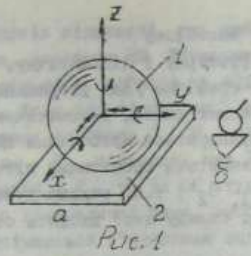
На рис. 3, а, б і 4, а, б зображені кінематичні пари ІІ класу в двох варіантах: сферичної пари /кульовий шарнір/, яка допускає три обертання навколо осей  $\lambda$ ,  $\psi$ ,  $\Xi$  і площинної пари, де миємо два плоскопаралельних відносних рухів вздовж осей  $x'$ ,  $y'$  та обертальний рух навколо осі  $\Xi$ . Ці кінематичні пари називають також трирухомі.

Двухрухома циліндрична кінематична пара зображенна на рис. 5, а, б, яка допускає незалежні обертальний і поступальний відносні рухи  $\tau\tau$  ланок. Цю пару треба віднести до пар IV класу.

Кінематичні пари У класу /однорухомі пари/ подано в трьох варіантах. На рис. 6, а, б показано поступальну пару, кожна ланка якої має лише один можливий відносний поступальний рух вздовж осі  $X$ . На рис. 7, а, б зображена обертальна кінематична пара, яка має лише один можливий відносний обертальний рух навколо осі  $X$ . На рис. 8, а, б показано гвинтovу пару, що допускає обертання навколо осі гвинта і поступальний рух вздовж цієї осі. Ці рухи зв'язані між собою додатковими геометричними умовами, тому цю пару слід зважати однорухомою парою У класу.

Кінематичні пари поділяються на дві групи: нижчі та вищі. Кінематична пара, яка може бути створена стиканням елементів  $\tau\tau$  ланок тільки по поверхні, називається нижчою. До нижчих пар належать: обертальна /рис.7/, поступальна /рис.6/, гвинтова /рис.8/, циліндрична /рис.5/, сферична /рис.3/ і площинна /рис.4/.

Кінематична пара, яка може бути створена стиканням елементів  $\tau\tau$  ланок тільки по лінії або в точках, називається вищою. До вищих пар належать: пара куля-площа /рис.1/, пара циліндр-площа /рис.2/.



## 2.2. Структурна і кінематична схеми механізму

Розробляють дві схеми механізму: структурну і кінематичну.

Структурна схема механізму - умовне графічне /без дотримання масштабу/ зображення з вказівкою стояка, рухомих ланок, кінематичних пар і їх взаємного розташування. Ланки нумеруються арабськими цифрами 0, I, 2 і т.п., кінематичні пари позначаються прописними літерами латинського алфавіту, причому літерами  $O_1$ ,  $O_2$  і т.п. рекомендується позначати обертальну кінематичну пару, до складу якої входить стояк, і літерами A, B, C і т.п. - інші пари.

Кінематична схема механізму - умовне графічне зображення механізму з врахуванням масштабу. Кінематична схема є основою розрахунку механізму.

В структурній і кінематичній схемах механізму ланки зображуються спрощено і використовуються умовні зображення рухомих з "єднань".

Розглянемо структурну схему кривошильно-повзункового механізму /рис.9/. Цей механізм має чотири ланки: 0 - стояк, I - кривошип, 2 - шатун; 3 - повзун. Залежно від характеру руху відносно нерухомої ланки 0 інші ланки мають свою назву.

Кривошип /OA/ - ланка, яка утворює обертальну кінематичну пару з із стояком і здійснює новий оберт навколо нерухомої осі.

Шатун /AB/ - ланка, яка з "єднань" обертальними кінематичнимиарами A і B з рухомими ланками.

Повзун - ланка 3, яка утворює поступальну пару із стояком 0. Кривошильно-повзункового Механізм перетворює обертальний рух кривошипа в поступальний рух повзуна.

До складу механізму можуть входити такі ланки, як коромисло і куліса.

Коромисло - ланка, яка здійснює неповний оберт навколо осі, зв'язаної із стояком. Куліса - обертова ланка, яка є напрямною повзуна /каменя куліси/.

## 2.3. Структурні формулі механізмів

Механізми поділяються на плоскі та просторові. Плоскими називають механізми, в яких всі точки ланок описують траекторії, що лежать у паралельних площинах.

Просторовими механізмами називають механізми, у яких точки ланок описують неплоскі траекторії або траекторії, розташовані в пересічних площинах.

Якщо на рух ланки в просторі не накладаються ніякі умови зв'язку, то вона, як відомо, має шість ступенів вільності. Тоді, якщо кількість ланок кінематичного ланцюга дорівнює K, то загальна кількість

ступенів вільності, які має . Кількість до тих з'єднання в кінематичні пари, дорівнює  $GK$ . З'єднання ланок у кінематичні пари накладає різну кількість зв'язок на відносний рух ланок в залежності від класу пар. Коли кількість пар I класу, в які входять ланки кінематичного ланцюга дорівнює  $P_I$ , кількість пар II класу -  $P_{II}$ , кількість пар III класу -  $P_{III}$ , кількість пар IV класу -  $P_{IV}$ , і нарешті, кількість пар V класу -  $P_V$ , то тоді  $GK$  ступенів руху, які мали ланки до тих з'єднань у кінематичні пари, необхідно видучити ті ступені вільності, які відімиваються з'єднанням ланок у кінематичні пари. Тоді кількість ступенів вільності  $H$ , яку має кінематичний ланцюг, дорівнює

$$H = GK - 5P_I - 4P_{II} - 3P_{III} - 2P_{IV} - P_V. \quad /3/$$

Механізм має одну нерухому ланку /стійку/. Тоді загальна кількість ступенів вільності ланцюга зменшиться на щість і кількість ступенів вільності  $W$  відносно нерухомої ланки буде дорівнювати

$$W = H - 6. \quad /4/$$

З рівнянь /3/ і /4/ знаходимо

$$W = 6(K-1) - 5P_I - 4P_{II} - 3P_{III} - 2P_{IV} - P_V.$$

Нищо величину  $K-1$  позначити через  $n$ , то дістанемо

$$W = 6n - 5P_I - 4P_{II} - 3P_{III} - 2P_{IV} - P_V, \quad /5/$$

де  $n$  - кількість рухомих ланок.

Формула /5/ носить назву формули рухомості або структурної формулі просторового механізму.

У плоскому механізмі кожна вільна ланка може мати тільки три рухи /один обертальний і два поступальних/, тобто три ступені вільності. Таким чином, на рух всіх ланок плоского механізму накладається три умови зв'язку. Далі, якщо у загальному випадку кількість ступенів вільності рухомих ланок механізму дорівнює  $Gn$ , то для плоского механізму кількість ступенів вільності рухомих ланок буде  $6n - 3n = 3n$ . Відповідно замість  $5P_I$  умов зв'язку, які накладаються парами V класу, в цьому механізмі пари V класу будуть накладати  $5-3/P_I = 2P_I$  умов зв'язку. Структурна формула /5/ перепишеється таким чином

$$W = (6-3)n - (5-3)P_I - (4-3)P_{II} - (3-3)P_{III}.$$

Остаточно структурна формула для плоского механізму буде мати такий вигляд.

$$W = 3n - 2P_I - P_{II}. \quad /6/$$

Ця формула ще називається формулой П.Л.Чебишева, яку він вивів в 1869 році.

#### 2.4. Структурна класифікація плоских важільних механізмів

Сучасні методи кінематичного та силового аналізів механізмів пов'язані з їх структурною класифікацією.

Головний принцип утворення механізму вперше був сформульований в 1914 році російським вченим Л.В.Ассуром. Структурна класифікація механізмів за методом Ассура є однією з найраціональніших класифікацій плоских важільних механізмів з нижчими кінематичними парами. Цей принцип полягає в послідовному приєднанні до ведучої ланки груп ланок з нульовим ступенем вільності відносно тих ланок, до яких група приєднується. Ці групи ланок називаються групами Ассура. Кінематичний ланцюг, ступінь рухомості якого дорівнює ступеню рухомості усього механізму, називається групою початкових ланок.

Визначити будову механізму – це значить встановити, з яких груп ланок /початкових і груп Ассура/ таний механізм складається, і в якому порядку ці групи приєднуються.

Сумісність стояка та ведучої ланки, що утворюють кінематичну пару  $\text{У}$  класу, називають механізмом I класу – це група початкових ланок, для якот  $\text{U} = 1$  /рис.10/.

Класифікація груп Ассура охоплює плоскі механізми лише з нижчими кінематичними парами.

Тоді група Ассура повинна відповісти умові

$$\text{W} = 3n - 2P_{\text{T}} = 0.$$

Звідки

$$P_{\text{T}} = \frac{3}{2} n. \quad /7/$$

Надаючи  $n$  послідовно ряд значень  $2; 4; 6; \dots$ , дістанемо відповідно для  $P_{\text{T}}$  значення  $3; 6; 9; \dots$

$$\begin{aligned} n &= 2; 4; 6; 8; 10; \dots \\ P_{\text{T}} &= 3; 6; 9; 12; 15; \dots \end{aligned} \quad /8/$$

Задавшись різним сполученням цих чисел, які задовільняють умову /8/, можна дістати групи різного виду. Усі групи, одержані таким способом, поділено на класи: II, III, IV, V та т.д.

Найпростіше сполучення чисел ланок і пар, які задовільняють умову /7/, буде  $n = 2 + P_{\text{T}} = 3$ .

Група, яка має дві ланки і три пари  $\text{У}$  класу, називається групою Ассура II класу, другого порядку або двопозіціковою групою.

Клас групи Ассура визначається найвищим класом контура, який

входить в групу. Клас контура визначається числом кінематичних пар у класу ланки контура /рис.ІІ/.

Порядок групи Ассура визначається числом вільних елементів ланок, якими група приєднується до основного механізму.

Групі Ассура ІІ класу другого порядку можна також дати назву діади.

Групи Ассура ІІ класу порядку або діади поділяються на види.

Група, яка має дві ланки і три обертальні пари /рис.ІІ/, називається діадою першого виду /000/.

Інші види діади можна здобути шляхом заміни окремих обертальних пар парами поступальними.

Другим видом є той, при якому поступальною парою замінюється одна з крайніх обертальних пар /рис.І2, ОСП/.

Третій вид зображеній на рис.І3. Тут поступальною парою замінюється середня обертальна пара /0Ц0/.

Четвертий вид зображеній на рис.І4. Тут дві крайні обертальні пари замінюються двома поступальними /ЦЦ/.

У п'ятому виді /рис.І5/ поступальними парами замінюються крайня і середня обертальні пари /ЦЦ0/.

Діада з трьома поступальними парами неможлива, бо якщо ІІ приєднати до стояка, вона не матиме нульової рухомості і може переміщуватись.

Розглянемо тепер друге можливе сполучення чисел ланок і кінематичних пар, що утворюють групи Ассура. Згідно з рівністю /7/ група має чотири ланки і шість пар І класу /рис.І6/. Цей кінематичний ланцюг являє собою складний незамкнений кінематичний ланцюг, що складається з базової ланки ABC, з трьома повідками: LB, HE, CH . На рис. І6 зображені три контури І класу і контур ІІ класу, що утворює групу Ассура ІІІ класу третього порядку, або триповідкову групу /триаду/.

Механізми, до складу яких входять групи не вище другого класу, називають механізмами другого класу.

Механізми, до складу яких входять групи не вище ІІ класу, називають механізмами ІІ класу.

Склад і послідовність приєднання груп Ассура виражає формула будови механізму.

На завершення розглянення приклад структурного дослідження важільного механізму, зображеного на рис.І7.

До складу механізму входять всім ланок, котрі мають таку назву: 0 - стояк, I - кривошип, 2 - шатун, 3 - повзун, 4 - шатун, 5 - коромисло, 6 - шатун, 7 - повзун.

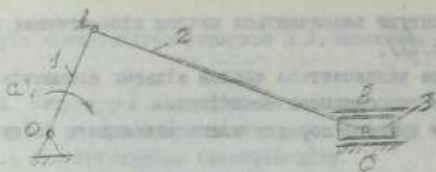


Рис. 9

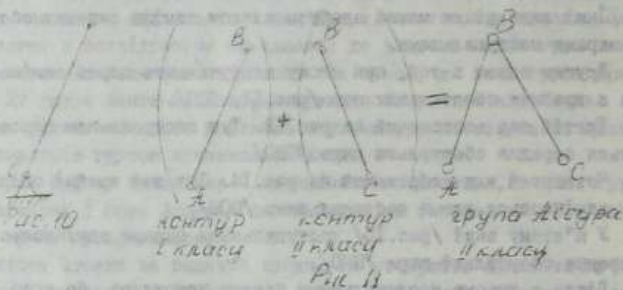


Рис. 11

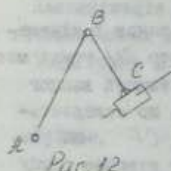


Рис. 12

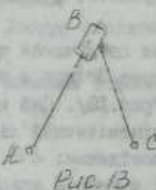


Рис. 13

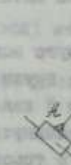


Рис. 14

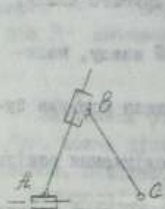
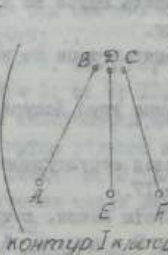
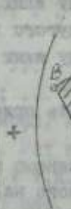


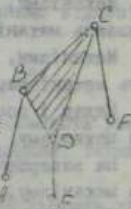
Рис. 15



контура I класса



контура II класса



группы лесура II класса.

Рис. 16

Кількість кінематичних пар - десять: вісім обертальних пар у класу та дві поступальні пари у класу.

З формули /6/ ступінь рухомості механізму

$$W = 3n - 2P_F - P_E = 37 - 2 \cdot 10 - 0 = 1,$$

тобто механізм має один ступінь рухомості і, отже, повинен мати одну ведучу ланку /І - кривошип/.

Зробимо поділ механізму на структурні групи і визначимо клас, порядок і вид груп Ассура.

На рис. 18 зображений механізм І класу, ступінь рухомості якого

$$W = 3n - 2P_F = 3 \cdot 1 - 2 \cdot 1 = 1.$$

На рис. 19 зображена група Ассура ІІ класу, другого порядку і другого виду /00II/, ступінь рухомості якот  $W = 3n - 2P_F = 32 - 2 \cdot 3 = 0$ . На рис. 20 зображена група Ассура ІІ класу, другого порядку і первого виду, або діада первого виду. Остання група Ассура /рис. 21/ має ІІ клас, другий порядок і другий вид.

Порядок приєднання груп виразимо формулами будови

$$\underline{I} (0,1) \longrightarrow \underline{II} (2,3) \longrightarrow \underline{II} (4,5) \longrightarrow \underline{II} (6,7)$$

У формулі цифрові ІІ позначено клас групи Ассура, а цифрою І - механізм І класу. Номери ланок, що входять до складу механізму І класу та груп, зазначені в дужках.

В ціому цей механізм другого класу, тому що до його складу входять групи не вище другого класу.

### Розділ 3. КІНЕМАТИЧНЕ ДОСЛІДЖЕННЯ ПЛОСКИХ МЕХАНІЗМІВ

Головне завдання кінематичного дослідження механізмів - це визначення руху ланок механізму за заданим законом руху ведучої ланки.

Розв'язання цього завдання полягає в розгляді таких питань:

- а/ знаходження траекторій, що описуються точками ланок;
- б/ побудова планів механізму;
- в/ визначення швидкостей різник точок ланок і кутових швидкостей ланок;
- г/ визначення прискорень різних точок ланок і кутових прискорень ланок.

Кінематичне дослідження механізмів можна проводити графічними, графоаналітичними і аналітичними методами.

Графоаналітичні методи дають прості і наочні розв'язання там, де аналітичні приводять до громіздких формул і складних результатів. Графоаналітичні методи дослідження включають методи планів положень, швидкостей та прискорень.

Графічне розв'язання задач потребує зображення різноманітних

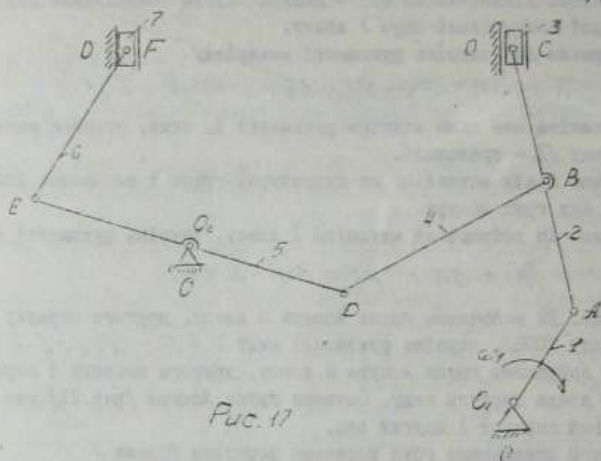


Fig. 17

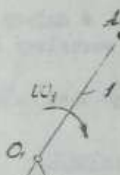


Fig. 18

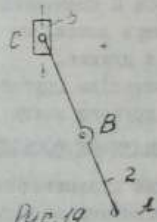


Fig. 19

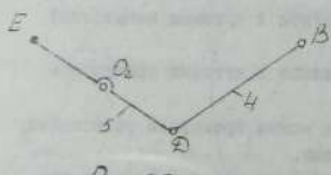


Fig. 20

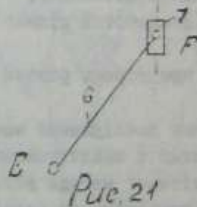


Fig. 21

Фізичник величин у вигляді лінії /відрізка/ тіст чи іншої довжини. Для цього треба користуватись масштабним коефіцієнтом, який являє собою відношення дійсної величини до довжини відрізка, який цю величину зображує на кресленні. Масштабний коефіцієнт, який у подальшому будемо називати "масштабом", позначається літерою  $M$  з індексом тіст величини, яка зображенна графічно. Масштаб  $M$  має розмірність, у чисельнику якої - розмірність дійсної величини, а у знаменнику - розмірність довжини в м.

Наприклад, при зображенні довжини ланок масштаб буде  $M_1 \left[ \frac{m}{mm} \right]$ , швидкості  $M_2 \left[ \frac{m}{s} \right]$  і т.д.

Знаходження траекторії, що описується точками ланок, не викликає особливих труднощів, тому це питання не будемо розглядати.

### 3.1. Побудова планів механізмів

Графічне зображення взаємного розміщення ланок відповідає дібраному миттевому часу, називається планом механізму. Ряд послідовних планів механізму, побудованих для різних моментів часу, які йдуть один за одним, дозволяє насильно прослідкувати за рухами механізму.

Для побудови планів механізму необхідно знати: кінематичну схему механізму і закон руху ведучої ланки.

Якщо відома довжина ланок механізму і взаємне розміщення нерухомих точок, то кінематичну схему механізму краслять методом засічок.

Якщо відомі деякі параметри механізму /коефіцієнт змінювання середньої швидкості, кід відомої ланки і т.д./, то довжина ланок та інші невідомі параметри визначаються аналітичним способом, а тоді вже краслять кінематичну схему механізму.

На прикладі центрального кривошипно-поплавкового механізму розглянемо спосіб будови його планів. Кінематична схема в дозвільному масштабі  $M_1$  зображена на рис.22. Відомі довжини кривошипа OA і матуна AB. Берем дозвільну точку O, яка слугує віссю обертання кривошипа і через неї проводимо горизонтальну пряму  $V'-V'$ . Так як механізм центральний, то центр повзуна розташований на прямі  $V-V'$ . Далі через точку O проводимо перпендикуляр OA долі  $V-V'$  і із точки A радіусом AB робимо засічку на прямі  $V-V'$  в точці B, яка є центром повзуна Z.

Таким чином, виконали кінематичну схему механізму для даного положення. За початкове положення механізму вибираємо таке, при якому кривошип і шатун витягаються в одну пряму лінію A<sub>0</sub>OB. Далі поділимо коло, що описується ведучою точкою A кривошипа, на дозвільне число рівніх частин, наприклад, на 12, і точки поділу позначимо через A<sub>1</sub>, A<sub>2</sub>, ... A<sub>12</sub> у напрямі обертання кривошипа /на рисунку за годинниковим стрілком/. Кід повзуна Z відповідає двом крайнім положенням механізму. Для кривошипу це будуть точки A<sub>1</sub> і A<sub>12</sub>, а для шатуна відпо-

відно точки  $B_c$  і  $B_6$ .

16

### 3.2. Основні рівняння для визначення швидкостей і прискорень.

Для застосування графоаналітичних методів кінематичного дослідження необхідно добре знати основні залежності визначень величин швидкостей і прискорень, добре знати напрям векторів

і вміти складати векторні рівняння циклів швидкостей і прискорень пля різних випадків.

Нагадаємо основні положення, які відомі з курсу теоретичної механіки.

1. Ланка рухається поступово.

При поступовому русі ланки швидкості і прискорення її точок мають однукову величину і напрям.

2. Ланка здійснює обертальний рух навколо нерухомої осі /рис.23/

У цьому випадку значення лінійної швидкості точки A, кутової швидкості ланки  $\omega$  і радіуса  $OA$  залежать

$$v_A = \omega \cdot OA$$

/9/

вектор швидкості  $v_A$  перпендикулярний радіусу і має напрям у бік руху точки A. Це визначається за напрямом

значення нормального прискорення точки A дорівнює

$$a_A^N = \omega^2 \cdot OA$$

/10/

Вектор нормального прискорення завжди спрямований від радіуса до центру оберту - від точки A до точки O.

Тангенціальне прискорення A дорівнює

$$a_A^T = \omega \cdot v_A$$

/11/

Вектор тангенціального прискорення перпендикулярний радіусу і його напрям визначається напрямом кутового прискорення  $\dot{\omega}$ .

Напрями кутової швидкості і кутового прискорення можуть або збігатися, або не збігатися. В першому випадку обертальний рух прискорений, а другому - сповільнений.

Вектор повного прискорення точки A дорівнює векторній сумі нормального і тангенціального прискорень цієї точки

$$\ddot{a}_A = \ddot{a}_A^N + \ddot{a}_A^T$$

/12/

3. Дві точки належать одній ланці й віддалені одна від одної на відстань  $l_{AB}$  /рис.24/.

З теоретичної механіки відомо, що рух будь-якої точки ланки, /наприклад, точки B/ можна розкласти на два: переносний рух різом

з довільно взятою точкою А данник є відносний обертальний рух навколо цієї точки. В зв'язку з цим векторне рівняння, яке зв'язує швидкості обох точок, має вигляд

$$\bar{v}_B = \bar{v}_A + \bar{v}_{BA}, \quad /13/$$

де  $\bar{v}_B$  - абсолютна швидкість точки B;

$\bar{v}_A$  - переносна швидкість точки A;

$\bar{v}_{BA}$  - відносна швидкість точки B.

Відносна швидкість  $\bar{v}_{BA}$  дорівнює добутку величини кутової швидкості  $\omega$  на відстань  $l_{AB}$  і напрямлена перпендикулярно до AB у бік, який визначається знаком напряму вектора швидкості  $\bar{v}$ , тобто,

$$\bar{v}_{BA} = \omega l_{AB}. \quad /14/$$

Прискорення точки B складається з двох прискорень

$$\bar{a}_B = \bar{a}_A + \bar{a}_{BA}, \quad /15/$$

де  $\bar{a}_B$  - вектор абсолютноого прискорення точки B;

$\bar{a}_A$  - вектор переносного прискорення точки A;

$\bar{a}_{BA}$  - вектор позитивного прискорення точки B.

Цовне відносне прискорення  $\bar{a}_{BA}$  в свою чергу складається з двох складових прискорень - нормальног  $\bar{a}_{BA}^n$  і тангенціальног  $\bar{a}_{BA}^t$ .

На основі цього векторне рівняння для прискорення точки B має вигляд

$$\bar{a}_B = \bar{a}_A + \bar{a}_{BA}^n + \bar{a}_{BA}^t. \quad /16/$$

Величина прискорень  $\bar{a}_{BA}^n$  і  $\bar{a}_{BA}^t$  дорівнює

$$a_{BA}^n = \omega^2 l_{AB}; \quad a_{BA}^t = \epsilon l_{AB}.$$

Нормальне прискорення  $a_{BA}^n$  направлене по AB від точки B до точки A, а тангенціальне  $a_{BA}^t$  направлене по перпендикуляру до AB у бік напряму кутового прискорення  $\epsilon$ .

4. Дві точки належать двом ланкам, з'єднаним в поступальну кінематичну пару, і в даний момент часу збігається /рис.25/.

Розглянемо ланки I і 2, які утворюють поступальну пару з напрямною X-X. Точка A, належить ланці I, а точка  $A_2$  - ланці 2. Швидкість  $\bar{v}_{A_2}$  точки  $A_2$  складається з двох швидкостей - переносної та відносної. Переносна є швидкість  $\bar{v}_A$ , тієї точки A, ланці I, з якою в даний момент часу збігається точка  $A_2$ . Відносна швидкість  $\bar{v}_{A_2A}$  точки  $A_2$  дорівнює швидкості руху ланки 2 відносно ланки I. Формула для швидкості точки  $A_2$  має вигляд

$$\bar{v}_{A_2} = \bar{v}_A + \bar{v}_{A_2A}. \quad /17/$$

Відносна швидкість  $\bar{v}_{A_2 A_1}$  направлена паралельно напрямі  $X-X$ .

Прискорення  $\bar{\alpha}_{A_2}$  точки  $A_2$  складається з трьох прискорень: переносного прискорення точки  $A_2$ , відносного і прискорення Коріоліса /поворотне/. В даному випадку переносний рух обертальний. У відносному русі, як зазначено вище, точка  $A_2$  рухається по прямій лінії. Тому у відносному русі точки  $A_2$  має тільки релятивне прискорення  $\bar{\alpha}_{A_2 A_1}$ , направлене паралельно напрямі  $X-X$ . Прискорення Коріоліса позначимо через  $\bar{\alpha}_{A_2 A_1}^k$ . Тепер формула для прискорення  $A_2$  має вигляд

$$\bar{\alpha}_{A_2} = \bar{\alpha}_n + \bar{\alpha}_{A_2 A_1} + \bar{\alpha}_{A_2 A_1}^k \quad /18/$$

Прискорення Коріоліса  $\bar{\alpha}_{A_2 A_1}^k$  обчислюють за формулou

$$\bar{\alpha}_{A_2 A_1}^k = 2\omega_i v_{A_2 A_1}, \quad /19/$$

де  $\omega_i$  - кутова швидкість ланки I, що дорівнює - кутовій швидкості ланки 2, бо ланки I і 2 утворюють поступальну пару і не мають відносного обертання. Тому вони повертаються разом і мають однакові швидкості та кутові прискорення.

Щоб визначити напрям прискорення Коріоліса, вектор  $\bar{\alpha}_{A_2 A_1}$ , відносної швидкості треба повернути на кут  $90^\circ$  у бік напряму кутової швидкості  $\omega_i$  переносного руху. Напрям повернутого вектора швидкості  $\bar{\alpha}_{A_2 A_1}$  збігається з напрямом вектора  $\bar{\alpha}_{A_2 A_1}^k$  прискорення Коріоліса.

### 3.3. Теореми подібності для планів швидкостей та прискорень.

Розглянемо теореми подібності для планів швидкостей і прискорень, за допомогою яких простим геометричним способом можна визначити швидкості інших точок ланки, якщо відомі швидкості двох із точок.

Нехай, наприклад, відомо /рис.26/: вектор швидкості точки  $B$  і напрям  $q-q'$  вектора  $v_n$  швидкості точки  $C$  ланки 2. Треба визначити швидкості точок  $C$ ,  $D$  і  $E$  ланки 2 і їх кутову швидкість  $\omega_2$ . Для цього використаємо рівняння /13/.

З довільної точки  $P$  - полюса плану швидкостей /рис.27/ - відкладаємо відрізок  $PR$ , що зображує у деякому масштабі  $v_n$  вектор  $\bar{v}_n$  заданої швидкості точки  $B$ . Через точку  $B$  - кінець вектора  $v_n$  - проводимо пряму перпендикулярно до відрізка  $BC$  ланки 2 до перетину в точці  $C$  з прямою, проведеною через полюс  $P$  у напрямі  $q-q'$  вектора  $v_n$  швидкості точки  $C$ . Таким чином, щоб побудувати план швидкостей  $rbc$  ланки 2, досить знати швидкість однієї точки ланки, наприклад, швидкість точки  $B$ , і напрям швидкості іншої точки ланки, наприклад, точки  $C$ . Якщо план швидкостей ланки побудовано, то завжди

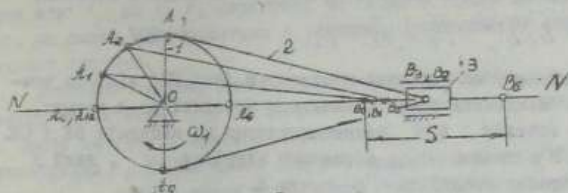


Рис. 22

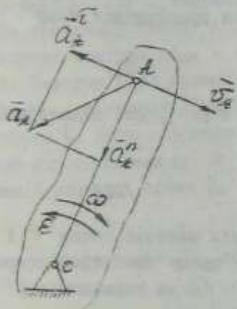


Рис. 23

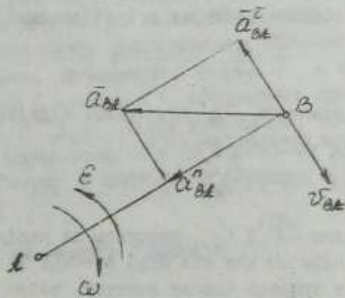


Рис. 24

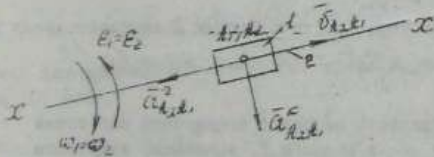


Рис. 25

можна визначити швидкість будь-якої іншої точки, що належить цій ланцю, наприклад, точки Е. Швидкість точки Е визначають з рівняння:

$$\bar{v}_E = \bar{v}_B + \bar{v}_{EB}; \quad \bar{v}_E = \bar{v}_C + \bar{v}_{EC}. \quad /20/$$

З цих рівнянь випливає, що на плані швидкостей /рис.27/ кінцева точка  $\bar{v}$  вектора  $\bar{v}_E$  швидкості точки Е лежить у перетині двох прямих, проведених через точки  $B$  і  $C$  перпендикулярно до напрямів  $BE$  і  $CE$ . Сполучивши полос Р з точкою  $C$ , дістанемо відрізок  $re$ , який у масштабі  $\mu_r$  зображає швидкість  $\bar{v}_E$  точки Е.

Легко побачити, що трикутник  $BCe$  на плані швидкостей, який зображує відносні швидкості  $v_{CB}, v_{EB}, v_{EC}$ , подібний трикутнику  $BCE$  на плані ланки, як трикутники з взаємно перпендикулярними сторонами. Трикутник  $BCe$  повернений відносно трикутника  $BCE$  на кут  $90^\circ$ .

В подібних фігурах всі відповідні сторони пропорційні, тому

$$\frac{re}{BC} = \frac{CE}{CE} = \frac{BE}{BE}. \quad /21/$$

З рівняння /21/ визнаша відрізки  $CE$  і  $BE$ , які відповідають відносним швидкостям  $v_{EC}$  і  $v_{EB}$ .

$$CE = BC \frac{CE}{BC}; \quad BE = BC \frac{BE}{BC}. \quad /22/$$

Відрізками  $CE$  і  $BE$  описують як радіусами кіль навколо точок  $C$  і  $B$ . Перетин цих кіл буде в точці  $e$ . При цьому необхідно дотримуватися правила обходу контура, тобто  $EBC$  і  $eBC$  за годинниковим спрямом.

Таким чином, випливає теорема подібності для плану швидкостей: вектори відносних швидкостей точок ланки утворюють фігуру, подібну до фігури ланки і повернену відносно ланки на кут  $90^\circ$ . При цьому фігури повинні бути скоже розташовані, тобто потрібно дотримуватися правила обходу контура.

Для визначення вектора швидкості точки Д використовуємо рівняння

$$\frac{v_{EB}}{v_{CB}} = \frac{BD}{BC} = \frac{BD}{BC}, \quad \text{звідки } BD = BC \frac{BD}{BC}.$$

Відрізок  $BD$  треба відкласти на плані швидкостей від точки  $B$ . Потім, з'єднавши точку  $D$  з полосом Р, визначимо відрізком  $re$ , який зображує вектор  $\bar{v}_D$  швидкості точки Д.

Користуючись планом швидкостей, можна визначити кутову швидкість  $\omega_2$  ланки 2. Для цього використовуємо формулу

$$\omega_2 = \frac{v_{CB}}{r_{BC}}. \quad /23/$$

Щоб визначити напрям кутової швидкості  $\dot{\omega}_2$ , треба вектор  $\ddot{\omega}_{BC}$  відносної швидкості, вражений на плані швидкості відрізком  $BC$  від прямого від  $C$  до  $c$ , перенести на схему в точці  $B$ . Ісого напрям починається, що ланка 2 обертається в напрямі, протилежному обертанню годинникової стрілки.

Доведемо теорему для ланки прискорення. Нехай вектор /рис. 29/: вектор прискорення  $\ddot{\omega}_{AB}$  і напрям  $\ddot{\omega}_{BC}$  вектора  $\ddot{\omega}_{BC}$  прискорення точки С. Треба визначити прискорення точок С, D і E ланки 2 і її кутове прискорення  $\dot{\varepsilon}_2$ . Для цього використовуємо рівняння /16/. З довільної точки  $B'$  — поліса плану прискорень /рис. 29/ — відкладаємо вектор  $\ddot{\omega}_{B'}$ , що являє собою вектор  $\ddot{\omega}_{AB}$  заданого прискорення точки В; потім відкладаємо від точки  $B'$  вектор  $\ddot{\omega}_{B'C}$  нормального прискорення паралельно СВ у напрямі від точки С до точки В. Величина цього вектора визначається за формулами /10/ і зображена на рисунку у вигляді відрізка  $B'C$ . Далі із знарядкою точки  $B'$  перпендикулярно до ланки BC проводимо пряму в напрямі вектора  $\ddot{\omega}_{AB}$  — тангенціального прискорення у відносному русі. Перетин цієї прямої з прямою, проведеною з поліса  $T$  в напрямі  $BC - B'C$ , визначає кінцеву точку С вектора  $\ddot{\omega}_{BC}$  абсолютної прискорення точки С. Якщо з'єднати точку  $B'$  і  $c$  плану прискорень, то відрізок  $BC$  являтиме собою позне прискорення  $\ddot{\omega}_{BC}$  у відносному русі точкам С навколо точки В, що випливає з векторного рівняння

$$\ddot{\omega}_{BC} = \ddot{\omega}_{BC}^n + \ddot{\omega}_{BC}^t. \quad 124$$

Кутове прискорення  $\dot{\varepsilon}_2$  ланки 2 визначається з формули

$$\dot{\varepsilon}_2 = \frac{\ddot{\omega}_{BC}}{r_{BC}}. \quad 125$$

Напрям  $\dot{\varepsilon}_2$  визначається, якщо в точці С прикласти вектор  $\ddot{\omega}_{BC}$ , що зображенняться на плані прискорень відрізком  $BC$  /напрям від  $B'$  до  $c$ / . Величину повного прискорення  $\ddot{\omega}_{BC}$  точкам С відносно точки В визначається формулами

$$\ddot{\omega}_{BC} = \ddot{\omega}_{BC} \sqrt{\dot{\varepsilon}_2^2 + \omega_2^2}. \quad 126$$

Аналогічно для прискорень  $\ddot{\omega}_{BE} \pm \ddot{\omega}_{EC}$  точки Е, яка коротко називається з ланкою BC, маємо:

$$\ddot{\omega}_{EC} = \ddot{\omega}_{BE} \sqrt{\dot{\varepsilon}_2^2 + \omega_2^2}; \quad 127$$

$$\ddot{\omega}_{EC} = \ddot{\omega}_{CE} \sqrt{\dot{\varepsilon}_2^2 + \omega_2^2}. \quad 128$$

З цих трьох рівностей матимемо

$$\frac{\alpha_{AB}}{l_{BC}} = \frac{\alpha_{EB}}{l_{BE}} = \frac{\alpha_{EC}}{l_{CE}}$$

22

або

$$\frac{\ell_C}{BC} = \frac{BE}{BE} = \frac{CE}{CE}.$$

129/

Ці рівності показують, що в трикутнику ВЕС на плані ланки /рис.26/ і трикутнику  $\ell_{BC}$  на плані прискорень /рис.27/ відповідні сторони пропорціональні, і тому ці трикутники подібні. Щодібну фігуру на плані прискорень треба будувати методом засічок, визначивши спочатку з рівняння /129/ величини відрізків  $BE$  і  $CE$ .

Таким чином, випливає теорема подібності для плану прискорень: вектори повинні відносних прискорень точок ланки утворюють фігуру, подібну до фігури ланки. При цьому фігури повинні бути скоже розташовані, тобто треба дотримуватись правила обходу контура. При обході контура  $BCS$  у будь-якому напрямі порядок букв має збігатися з порядком букв контура ВСЕ при обході у тому самому напрямі.

Якщо потрібно визначити прискорення якоєсь точки  $X$ , що лежить на відрізку ВС /рис.28/, то напрям вектора  $\alpha_{AX}$  на плані прискорень має бути паралельним напряму вектора  $\alpha_{BC}$ , тобто напряму відрізка  $BC$  /рис.29/.

Для визначення відрізу  $BD$  використовуємо рівняння

$$\frac{\alpha_{AB}}{\alpha_{BC}} = \frac{BD}{BC} = \frac{BD}{BC}, \quad \text{звідки } BD = BC \frac{BD}{BC}.$$

Відрізок  $BD$  треба відкласти на плані прискорень від точки  $B$ . Потім, з'єднавши точку  $D$  з полюсом  $T$ , визначимо відрізок  $DT$ , який зображує вектор  $\alpha_D$  прискорення точки  $X$ .

### 3.4. Побудова планів швидкостей і прискорень плоских важільних механізмів

Графоаналітичний метод кінематичного дослідження механізмів ґрунтуються на побудові планів швидкостей і прискорень. Плані швидкостей та прискорень, які побудовано для даного положення механізму, не дають ще уяві про характер руху механізму, а дають лише змогу судити про миттєвий кінематичний стан його. Коли ж побудувати план швидкостей і прискорень для кількох послідовних положень механізму, можна дістати повну кінематичну характеристику досліджуваного механізму за якийсь період руху, наприклад, за один оберт кришопина.

Побудову планів швидкостей і прискорень здійснюємо на окремому прикладі для шестиланкового кулісного механізму поперечно-стругального верстата /рис. 30/. Будемо вважати, що відомо:

а/ розміри ланок  $l_{O_1 A}, l_{O_2 B}, l_{B C}, l_{O_2 A}$ ;

б/ положення механізму;

в/ величина  $\dot{\varphi}$  напрям кутової швидкості і кутового прискорення ведучої ланки  $O_1 \dot{\varphi} = \ddot{\varphi}_1$ .

Побудова планів здійснюється у порядку побудови механізму, тобто спочатку будеться план для ведучої ланки, потім для першої групи Ассура, що приєднується до неї і т.д.

Швидкість точки А кривошила 1 і каменя куліси 2 визначаємо за формулами /9/

$$\bar{v}_{A_1} = \bar{v}_{A_2} = v_{A_1,2} = \omega_1 l_{O_1 A}.$$

Задаємося масштабним коефіцієнтом плана швидкостей

$$m_2 = \frac{v_{A_1,2}}{\mu \omega_{1,2}} \left[ \frac{m \cdot c^{-1}}{mm} \right].$$

Слід пам'ятати, що точне виключення швидкостей можливе тільки при достатньо значному плані швидкостей. Тому довжина вектора швидкості кінця кривошипа повинна бути на кресленні не менше 100 мм.

Відрізок  $P_{A_1,2}$  напрямлений перпендикулярно до  $O_1 A$  у бік напряму кутової швидкості  $\omega_1$ .

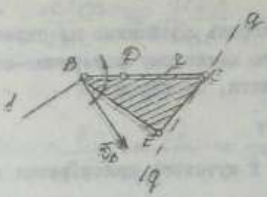
Швидкість точки  $A_3$  куліси визначається за допомогою двох рівнянь:

$$\bar{v}_{A_3} = \bar{v}_{A_2} + \bar{v}_{A_3 A_2}; \quad /30/ \quad (\bar{v}_{A_3 A_2} \parallel O_2 A);$$

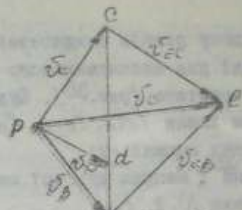
$$\bar{v}_{A_3} = \bar{v}_{O_2} + \bar{v}_{A_3 O_2}. \quad /31/ \quad (\bar{v}_{O_2} = 0; \bar{v}_{A_3 O_2} \perp O_2 A).$$

При складанні рівняння /30/ розглядалася група Ассура 2,3. Рух куліси 3 складається із переносного обертального руху разом з каменем куліси 2 і відносного поступального руху вздовж осі куліси. Друге рівняння /31/ відповідає обертальному русі куліси 3 навколо нерухомої точки  $O_2$ .

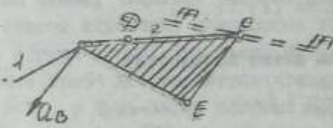
Щочиєм побудову плану швидкостей. З подеса  $P$  плану швидкостей відкладаємо перпендикулярно до  $O_1 A$  відрізок  $P_{A_1,2}$  у бік напряму кутової швидкості  $\omega_1$ . Далі відповідно до написаних рівнянь /30/ і /31/ через точку  $A_{1,2}$  проведемо лінію, паралельну  $O_2 A$ , а через пояс  $P$  - лінію, перпендикулярну до  $O_2 A$ . Перетин зазначених ліній визначає точку  $A_3$  - кінець вектора  $\bar{v}_{A_3}$ . Потім будуємо швидкість точки  $B$ . Ця точка належить ланцю  $O_2 B$ , для якої швидкості двох точок  $O_2$  та  $A$  відомі /точка  $O_2$  нерухома/ /рис. 31/.



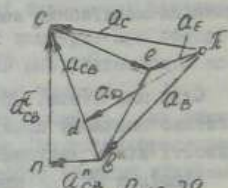
Puc. 26



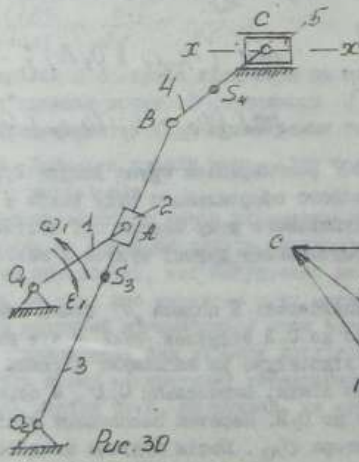
Puc. 27



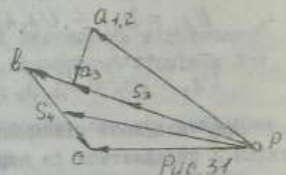
Puc. 28



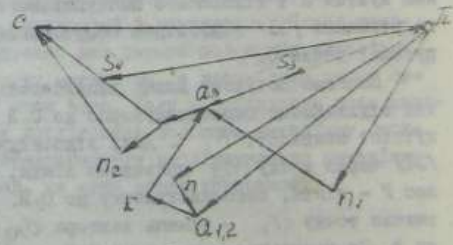
Puc. 29



Puc. 30



Puc. 31



Puc. 32

Отже, щоці інші точки В /відрізок рв/ можна знайти, користуючись теоремою подібності, з відношення

$$\frac{1_B}{l_{A_2}} = \frac{l_B}{l_{B_2}} = \frac{\omega_{B_2}}{\omega_{A_2}},$$

/32/

Щоб визначити швидкість точки С, розглянемо групу Ассура 4,5 /шатун, поваун/. Для цього складаємо дві рівняння:

$$\begin{aligned} l_{A_2} \cdot v_{A_2} + l_{C_2} \cdot v_{C_2} \\ = l_{C_2} + v_{C_2}, \end{aligned}$$

де  $v_{A_2}$  = - швидкість точки С нерухомої напрямної позиція;  
 $v_{C_2}$  = паралельна напряму Х-Х ;  
 $v_{C_2}$  = перпендикулярна до BC.

Через точку / плану швидкостей проведемо лінію, перпендикулярну до BC, а через полюс Р - лінію, паралельну Х-Х. У точці / перетину цих ліній є зображення кінця вектора  $v_C$ .

Для визначення швидкостей центра мас ланок S<sub>3</sub> і S<sub>4</sub> користуємося теоремою подібності.

Кутова швидкість куліс і каменя куліс визначають за формулами

$$\omega_3 = \omega_4 = \frac{\omega_{A_3 A_4}}{l_{A_3 A_4}} = \frac{l_{A_3} \cdot \omega_4}{l_{A_3 A_4}},$$

Наприкінці кутової швидкості визначаємо шляхом перенесення відрізка  $PO_2$  /наприкінці від / до  $l_{A_3}$  / в точці A кінематичної схеми механізму.

Кутова швидкість шатуна

$$\omega_4 = \frac{v_{B_2}}{l_{B_2}} = \frac{v_C \cdot \omega_4}{l_{B_2}},$$

Наприкінці кутової швидкості визначається вектором  $\bar{v}_C$ , який треба перенести в точку С схеми механізму.

Розглянемо побудову плану прискорень механізму.

Прискорення точки A кінця кривошипа і точки A каменя куліс згідно рівняння /12/

$$\bar{a}_{A_{1,2}} = \bar{a}_{A_{1,2}O_1} + \bar{a}_{A_{1,2}O_2} = \omega_1^2 l_{O_1 A} + \epsilon_1 l_{O_1 A},$$

де  $\bar{a}_{A_{1,2}}$  = паралельна напрямній AC ;

- перпендикулярна до ланки O<sub>1</sub>A.

Задаємося масштабним коефіцієнтом плану прискорень

$$n_1 = \frac{a_{A_{1,2}O_2}}{a_{A_{1,2}O_1}} \left[ \frac{m_s^2}{m_m^2} \right],$$

де  $a_{A_{1,2}O_1}$  = відрізок, який відповідає нормальному прискоренню  $\bar{a}_{A_{1,2}O_1}$ , причому  $m_s > 100$  мм.

Знаючи масштаб  $\mu_a$ , визначаємо відрізок  $\overline{AA_{1,2}}$ , який відповідає тангенціальному прискоренню  $\ddot{\alpha}_{A_{1,2}O_1}$ .

$$\overline{AA_{1,2}} = \frac{\ddot{\alpha}_{A_{1,2}O_1}}{\mu_a}.$$

Починаємо побудову плану прискорень. Для цього з полюса прискорень  $\mathcal{T}$  відкладаємо відрізок  $\overline{O_1A}$ , напрямлений по осі  $O_1A$  ланки I від точки  $A$  до точки  $O_1$ . Потім від точки  $O_1$  відкладаємо відрізок  $\overline{OA_{1,2}}$  перпендикулярно до  $\overline{O_1A}$  у бік напряму кутового прискорення  $\dot{\epsilon}_1$ . Сполучивши полос  $\mathcal{T}$  плану з точкою  $A_{1,2}$ , дістанемо відрізок  $\overline{OA_{1,2}}$ , який зображенім прискорення  $\ddot{\alpha}_{A_{1,2}}$  точок  $A_1$  і  $A_2$  (рис. 32).

Для визначення прискорення точки  $A$  кулісі користуємося рівнянням /18/, тому що рух кулісі розглядаємо як складний - разом з каменем кулісі є відносно нього.

$$\ddot{\alpha}_A = \ddot{\alpha}_{A_2} + \ddot{\alpha}_{A_3 A_2}^k + \ddot{\alpha}_{A_3 A_2}^z. \quad /33/$$

З другого боку, куліса має відносний обертальний рух навколо нерухомої точки  $O_2$  і тому згідно з рівнянням /16/ маємо

$$\ddot{\alpha}_{A_3} = \ddot{\alpha}_{O_2} + \ddot{\alpha}_{A_3 O_2}^k + \ddot{\alpha}_{A_3 O_2}^z. \quad /34/$$

Для визначення швидкості  $\dot{\alpha}_{A_3}$  рівняння /33/ і /34/ розв'язуються сумісно.

Величина прискорення Корiolіса визначається за формулой

$$\ddot{\alpha}_{A_3 A_2}^k = 2\omega_z v_{A_3 A_2}.$$

Відрізок  $\overline{A_{1,2}K}$ , який відповідає прискоренню Корiolіса,

$$\overline{A_{1,2}K} = \frac{\ddot{\alpha}_{A_3 A_2}}{\mu_a}.$$

Продовжуємо побудови прискорень. Від точки  $O_2$  зідикаємо відрізок  $\overline{O_2 K}$  перпендикулярно до осі ланки  $O_2B$ . Наприм цього відрізка визначаємо шляхом оберту вектора відносності швидкості  $v_{A_3 A_2}$  на кут  $90^\circ$  у бік напряму кутової швидкості  $\dot{\alpha}_{A_3 A_2}$ . Далі через точку  $K$  паралельно до  $O_2B$  проводимо лінію, яка відповідає напряму релятивного прискорення  $\ddot{\alpha}_{A_3 A_2}^z$ .

Перекодимо до розв'язання рівняння /34/. Прискорення нерухомої точки  $O_2$ , тобто  $\ddot{\alpha}_{O_2} = 0$ . Величина нормального прискорення  $\ddot{\alpha}_{A_3 O_2}$  визначається за формулой

$$\ddot{\alpha}_{A_3 O_2}^k = \omega_z^2 l_{O_2 A}.$$

Відрізок  $\overline{A_{1,2}P}$ , який відповідає прискоренню з врахуванням масштабу  $\mu_a$ , дорівнює  $\overline{PA_{1,2}} = \ddot{\alpha}_{A_3 O_2}^k / \mu_a$ .

Згідно з написаним рівнянням /34/ з полюса  $\mathcal{H}$  плану прискорень відкладаємо відрізок  $\overline{A_2 A_3}$ , паралельний  $\overline{O_2 A}$  і напрямлений від точки  $A$  до точки  $O_2$ . Потім через точку  $A_3$  проводимо лінію, перпендикулярну до  $\overline{O_2 A}$ , яка відповідає напряму тангенціального прискорення  $\ddot{\alpha}_{A_3}^t$ . У точці  $A_3$  перетину цієї лінії з лінією, що рівніше проводили через точку  $K$ , визначається точка  $\bar{A}_3$  - кінець вектора  $\ddot{\alpha}_{A_3}$ . З пропорції

$$\frac{\overline{AB}}{\overline{AA_3}} = \frac{\overline{O_2 B}}{\overline{O_2 A}}$$

знаходимо на продовженні відрізка  $\overline{AA_3}$  точку  $\bar{C}$  - кінець відрізу  $\overline{AC}$ .

Далі переходимо - до визначення прискорення точки  $C$ . Для цього складаємо рівняння:

$$\ddot{\alpha}_c = \ddot{\alpha}_B + \ddot{\alpha}_{CB} + \ddot{\alpha}_{Cc}$$

$$\text{де } \ddot{\alpha}_{CB} = \omega \ddot{\alpha}_{BC}; \ddot{\alpha}_{CB} \parallel CB; \ddot{\alpha}_{CB} \perp CB; \ddot{\alpha}_c \parallel X-X$$

Згідно з написаним рівнянням через точку  $B$  проводимо пряму, паралельну осі ланки  $BC$ , і відкладаємо на ній в напрямі від точки  $C$  до точки  $B$  відрізок  $\overline{B\bar{B}_2}$ , що зображує в масштабі  $\frac{\overline{AA_3}}{\overline{O_2 A}}$  нормальне прискорення  $\ddot{\alpha}_B^n$ . Через точку  $\bar{B}_2$  проводимо пряму, перпендикулярну до осі ланки  $BC$ , яка матиме напрям прискорення  $\ddot{\alpha}_{CB}^t$ . Потім через полюс  $\mathcal{H}$  проводимо пряму у напрямі  $X-X$ . Точка  $C$  перетину двох проведених прямих і буде зображенням точки  $C$  - кінця вектора  $\ddot{\alpha}_c$ .

При визначенні прискорень центра мас ланок  $S_3$  і  $S_4$  користуємося теоремою подібності для плану прискорень.

Кутове прискорення куліс і каменя куліс визначають за формулами

$$\mathcal{E}_2 = \mathcal{E}_3 = \frac{\ddot{\alpha}_{A_3 O_2}^t}{\overline{O_2 A}} = \frac{\overline{MA_3} \cdot \omega_a}{\overline{O_2 A}}$$

Напрям кутового прискорення визначаємо шляхом перенесення вектора  $\overline{\ddot{\alpha}_{A_3}}$  в точку  $A$  схеми механізму.

Кутове прискорення шатуна

$$\mathcal{E}_4 = \frac{\ddot{\alpha}_{CB}^t}{\overline{BC}} = \frac{\omega_a \cdot \omega_a}{\overline{BC}}$$

Напрям  $\mathcal{E}_4$  визначається вектором  $\overline{\ddot{\alpha}_C}$ , який треба перенести в точку  $C$  схеми механізму.

### Список литературы

1. Артоболевский И.И. Теория механизмов и машин. - М.:Наука, 1988.- 640 с.
2. Левитский Н.И. Теория механизмов и машин. - М.: Наука, 1979. - 575 с.
3. Фролов К.В. и др. Теория механизмов и машин. - М.: Высшая школа, 1987. - 496 с.
4. Баранов Г.Г. Курс теории механизмов и машин. - М.:Машиностроение, 1975 - 495 с.
5. Кожевников С.Н. Теория механизмов и машин. М.: Машиностроение, 1973 - 591.

Навчальне видання

Конспект лекцій

з дисципліни "Теорія механізмів і машин"

Розділ 1. Основні поняття та означення

Розділ 2. Структурне дослідження механізмів

Розділ 3. Кінематичне дослідження плоских механізмів  
для студентів машинобудівних спеціальностей  
денної форми навчання

Укладач Макарчук Віктор Миколайович

відповідальний за випуск Учаєв Петро Миколайович

План 1994р., №3 21

Шілп.до друку 9 02 94.

Тираж 500 екз.

Формат 60x84/16

Замовлення № 51

Обл.-вид.арк. 1,2

Безкоштовно

---

СДУ, 244007, Суми, вул.Римського-Корсакова, 2

---

Друкарня зо "Електрон". 244007, вул.Римського-Корсакова, 2